

I - 8.2 振動変形法による格子桁の個有振動数の計算法、ならびに、
模型実験について

徳島大学工学部 正員 ○兒嶋弘行
徳島大学工学部 正員 星 治雄

1 はしがき

主桁と横桁とが直交した、いわゆる直格子桁の曲げ振動に関する研究はかなり進んでいるが、任意な形状の格子構造に対して、曲げと同時に捩り振動をも考慮しに場合については、遅れているよう見受けられる。この報告では、変形法によって振動時の解析を行なうことと、振動方程式と呼ぶことにして、これによって任意形状の格子構造を解析する場合の基本式、振動方程式の機械的作成法、ならびに、簡単な模型に対する実験結果と、本方法による計算結果との比較などについて紹介する。

2 格子構造に対する振動変形法の基本式

図-1 のような、 $x-y$ 面内にある任意形状の格子の、任意な一部斜め辺の、自由振動時における材端変形量と、材端力、および、材端モーメントの関係とすれば、次のように表す。

$$\begin{aligned} \bar{m}_{xij} &= \bar{a}_{sc}\theta_{xi} - \bar{a}_s\theta_{xj} + \bar{b}_{sc}\theta_{yi} - \bar{b}_s\theta_{yj} \\ &\quad + \bar{c}_s\delta_{xi} - \bar{c}_c\delta_{xj} \\ \bar{m}_{yij} &= \bar{b}_{sc}\theta_{xi} - \bar{b}_s\theta_{xj} + \bar{a}_{sc}\theta_{yi} - \bar{a}_s\theta_{yj} \\ &\quad - \bar{c}_s\delta_{xi} + \bar{c}_c\delta_{xj} \\ \bar{B}_{xij} &= \bar{c}_s\theta_{xi} + \bar{c}_c\theta_{xj} - \bar{c}_s\theta_{yi} - \bar{c}_c\theta_{yj} \\ &\quad + \bar{d}_{sc}\delta_{xi} - \bar{d}_s\delta_{xj} \end{aligned} \quad (1)$$

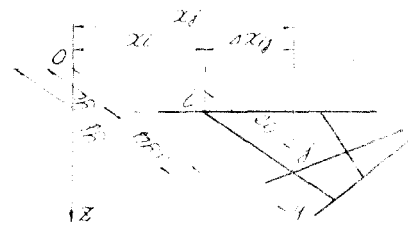


図-1

式(1)において、変形量、材端力、および、材端モーメントの正の向きと、図-1 におけるすべての座標軸の正の向きと一致するものとする。また、式中の諸係数は式(2)による計算される。

$$a_{sc} = \left\{ \left(\frac{\Delta x}{l}\right)^2 \frac{GJ\psi}{S'} C' + \left(\frac{\Delta y}{l}\right)^2 \frac{EI\phi}{I-SC} (CS - SC) \right\}, \quad c_s = \frac{EI\psi^2}{l} (C^2 S + S^2 C), \quad (2)$$

$$a_s = \left\{ \left(\frac{\Delta x}{l}\right)^2 \frac{GJ\psi}{S'} - \left(\frac{\Delta y}{l}\right)^2 \frac{EI\phi}{I-SC} (S - CS) \right\}, \quad c_c = \frac{EI\psi^2}{l} (C^2 S + S^2 C), \quad (2)$$

$$b_{sc} = \left(\frac{\Delta x \cdot \Delta y}{l^2}\right) \left\{ \frac{GJ\psi}{S'} C' - \frac{EI\phi}{I-SC} (CS - SC) \right\}, \quad d_{sc} = \frac{EI\psi^2}{l} (CS^2 + SC^2), \quad (2)$$

$$b_s = \left(\frac{\Delta x \cdot \Delta y}{l^2}\right) \left\{ \frac{GJ\psi}{S'} + \frac{EI\phi}{I-SC} (S - CS) \right\}, \quad d_s = \frac{EI\psi^2}{l} (S^2 + CS^2), \quad (2)$$

\bar{a}_{sc} のように文字の上に一をつけてものは、それそれ、シルエット部分の表示である。 Δx と Δy とを交換したものである。さうして、式(2)において

$$C = \cosh \phi l, \quad S = \sinh \phi l, \quad \bar{C} = \cos \phi l, \quad \bar{S} = \sin \phi l, \quad \bar{c}_s = \cosh \psi l, \quad \bar{d}_s = \sinh \psi l,$$

$$\phi = \sqrt{8F\omega^2/EI}, \quad \psi = \sqrt{8I_p\omega^2/GJ}, \quad \Delta x = x_j - x_i, \quad \Delta y = y_j - y_i$$

である。

3 任意な形状の格子構造に対する振動方程式の機械的作成法

式(1)を、格子の格度にわけ
3力と、モーメントの釣合条件

$$\begin{aligned} \sum M_x &= 0 \\ \sum M_y &= 0 \\ \sum P_z &= 0 \end{aligned} \quad \left. \right\} (4)$$

に用い、これを全格度について
ててれば、静的解析における
stiffness matrix に相当する係数行列が得られる。この
係数行列の行列式の値を 0 と
すれば、格子の自由振動に対する
振動数方程式が得られるが、
これを機械的に行なうには、式

(4) の諸係数をすべて、 Δx および Δy の絶対値について計算しておき、表-1 の規約にしたがって配列すればよい。なお、stiffness matrix の作成法の詳細については、土木学会誌 第46巻
第10号 pp. 19~24 を参照されたい。

4 実験模型の概要

模型桁の断面諸元、および、その諸性質を図-2 に示す。

格子は、スパン 360cm の直格子で、主桁、および、三主桁のものについて、それぞれ、横断面、横断面、および、主桁間隔を変えて各場合について実験を行なった。

5 実験値と本方法による計算値との比較

ここでは、図-3 に示すような單純支持=主桁-横桁の場合について、横断面を工型にして、主桁間隔を変化させた場合の一端端動の時間振動数を表-2 に示す。主桁間隔を 0 に近づけて場合の振動数は、理論的には主桁一本の場合の單純梁のそれにならざる。表-2 における実験値とは全く逆の結果が得られた。この点に関しては、現在整理中である他の case もあわせて検討し、講演会当日紹介する。

6 まとめ

3 において紹介した機械的作成法によれば、任意の支承条件をもつて任意形状の格子構造に対する振動数方程式

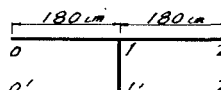
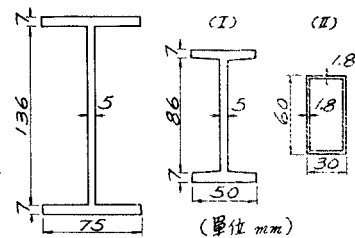


図-3 模型骨組

を容易に作成することができる。しかし、主、横桁の数が多くなるれば算上計算耗費の解消には多大の労力を要する。このため、電子計算機を利用する以外に方法はないが、対象とする格子が対称性を有している場合には、対称振動と逆対称振動とに分解して解析する便法を用いれば、非常に有利となる。この点についても、具体的には講演会当日説明する。

表-1 係数行列の要素の配列に関する規約

行	釣合條件	変形量	変形量に乘せられるべき係数	
			注目する格度 i	まわりの格度 j
1	0	θ_x	$\sum a_{sc}$	すべての部材にわたって $-a_s$
2	θ_y	$\sum b_{sc} - \sum c_{yo}$	$x > 0$ $x < 0$ の部材にわたって $\begin{cases} -b_s \\ b_s \end{cases}$	
3	δ_z	$\sum C_s - \sum c_{yo}$	$y > 0$ $y < 0$ の部材にわたって $\begin{cases} -C_c \\ C_c \end{cases}$	
4	0	θ_x	第2行と同じ	
5	θ_y	$\sum \bar{a}_{sc}$	すべての部材にわたって $-\bar{a}_s$	
6	δ_z	$-(\sum \bar{C}_s - \sum \bar{c}_{yo})$	$x > 0$ $x < 0$ の部材にわたって $\begin{cases} -\bar{C}_c \\ \bar{C}_c \end{cases}$	
7	0	θ_x	第3行と同じ	第3行と符号を逆にする
8	θ_y	θ_y	第6行と同じ	第6行と符号を逆にする
9	δ_z	$\sum d_{sc}$	すべての部材にわたって $-d_s$	



(a) 主桁断面 (b) 横桁断面

	E (GPa)	I (cm 4)	J_p (cm 3)	J (cm 3)
主桁	17.30	6420	691.4	2.282
横桁 I	13.29	218.6	—	—
横桁 II	3.110	14.53	—	—

図-2 模型断面とその性質

表-2 理論値と実測値との比較				
主桁間隔(cm)	120	60	30	0
理論値(cps)	33.7	35.6	36.6	37.8
実測値(cps)	35.5	34.9	33.3	37.0
誤差(%)	5.3	2.0	9.0	2.1